											
<h2 style="text-align: center;">Metall entspannen mit Vibration</h2>											
Kunde			*****			Stückart/Name		Gestelle 1. Unten aufgespannt am Boden			
Bestell Nr.						Zeichn. Nr.					
Auftrags Nummer						Material					
Datum			15.08.2019			Gewicht		≈ 800 kg		Anzahl Messungen	
Achse	Amp		Beschleunigung		RPM		EX	Energie/ N	Erreger	V	
	Vorher	Nachher	Vorher	Nachher	Vorher	Nachher	%		Energie	Typ	
D 1	1.2	1.24	1.07	1.09	2900	2960		15500	0.00	V20	
D 2	1.25	1.21	1.06	1.06	3480	3500		15500	0.00	V20	
D 3	1.14	1.2	1.71	1.6	3240	3200		15500	0.00	V20	
D 4	1.29	1.25	1.4	1.48	3220	3200		15500	0.00	V20	
D 5	1.14	1.1	1.88	2	3120	3100		15500	0.00	V20	

Achse	O=Oben U=Unten	V=Vorher N=Nachher	V05 6000 RPM = 3076 N					D1= Y zu Z								
			V20 6000 RPM = 15052 N					D2= Y zu X/Z								
			V50 6000 RPM = 30104N					D3= Y zu X								
								D4= Y zu Z/X								
			D1	D2	D3	D4	D5	D5= Z zu X								
			Grad	Grad	Grad	Grad	Grad									
			m/s 2					Foto								
X1	O	V	5.6	13	5.1	10	6.8	Foto	Y1	L	V	7.6	31	22	23	14.1
X1	O	N	7.4	9.5	6.1	10.1	17.7		Y1	L	N	20.7	28	25.1	25.5	14.5
X1	U	V	0	0	0	0	0		Y1	R	V	0	0	0	0	0
X1	U	N	0	0	0	0	0		Y1	R	N	0	0	0	0	0
X2	O	V	6	6.6	7.8	11	4.3		Y2	L	V	5.6	18.4	16.5	17.7	10.5
X2	O	N	5.1	6.5	9.2	11	3.3		Y2	L	N	5.5	19.3	16.4	18	10.5
X2	U	V	0	0	0	0	0		Y2	R	V	0	0	0	0	0
X2	U	N	0	0	0	0	0		Y2	R	N	0	0	0	0	0
X3	O	V	9.6	8.2	5.8	11.5	3.5		Y3	L	V	14.2	7.5	4.9	9.8	2.5
X3	O	N	10.4	8	6	11.2	3.6		Y3	L	N	15.2	7.3	5.1	9.6	2.5
X3	U	V	0	0	0	0	0		Y3	R	V	0	0	0	0	0
X3	U	N	0	0	0	0	0		Y3	R	N	0	0	0	0	0
X4	O	V	5.1	3	3.3	16	4		Y4	L	V	19.1	12.6	15.3	26	12.6
X4	O	N	4.4	3.3	4	15	3.6		Y4	L	N	19.9	12.4	15.2	25.9	12.4
X5	U	V	0	0	0	0	0		Y5	R	V	0	0	0	0	0
X5	U	N	0	0	0	0	0		Y5	R	N	0	0	0	0	0

Z1	Z2	Z3	Z4	Z5	Z6	Z7	Z8
Z1	LO	V	7.2	4.7	4.3	9.8	3.4
Z1	LO	N	9.8	3.9	5	9.2	4.1
Z2	LU	V	0	0	0	0	0
Z2	LU	N	0	0	0	0	0
Z3	LU	V	7.1	3.6	4	11	6.3
Z3	LU	N	8.4	3.1	4.3	10.7	6.6
Z4	LU	V	0	0	0	0	0
Z4	LU	N	0	0	0	0	0
Z5	RO	V	8	5.4	5.5	11	4.1
Z5	RO	N	9.5	4.6	6	11	4.6
Z6	RU	V	0	0	0	0	0
Z6	RU	N	0	0	0	0	0
Z7	RU	V	8.3	7.7	5.1	11	6.5
Z7	RU	N	9	7.9	6.3	12	6.2
Z8	LU	V	0	0	0	0	0
Z8	LU	N	0	0	0	0	0

Operator	HP. Widmer	Datum	15.08.2019
Document Numer	WIAP MEMV 850-20A	Create/Erstellt	hp_iw_sw_jw

# WIAP MEMV® Diagramm D1 bis D5

<b>X Achse</b>		<b>X1</b>	<b>X2</b>	<b>X3</b>	<b>X4</b>			
X Achse oben D1 Achse vorher		5.6	6	9.6	5.1	26.3		
X Achse oben D1 Achse nachher		7.4	5.1	10.4	4.4	30.5		
<b>Differenz oben</b>		1.8	-0.9	0.8	-0.7		4.2	m / s2
X Achse unten D1 Achse vorher		0	0	0	0	0		
X Achse unten D1 Achse nachher		0	0	0	0	0		
<b>Differenz unten</b>		0	0	0	0		0	m / s2
X Achse oben D2 Achse vorher		13	6.6	8.2	3	30.8		
X Achse oben D2 Achse nachher		9.5	6.5	8	3.3	34.9		
<b>Differenz oben</b>		-3.5	-0.1	-0.2	0.3		4.1	m / s2
X Achse unten D2 Achse vorher		0	0	0	0	0		
X Achse unten D2 Achse nachher		0	0	0	0	0		
<b>Differenz unten</b>		0	0	0	0		0	m / s2
X Achse oben D3 Achse vorher		5.1	7.8	5.8	3.3	22		
X Achse oben D3 Achse nachher		6.1	9.2	6	4	25.3		
<b>Differenz oben</b>		1	1.4	0.2	0.7		3.3	m / s2
X Achse unten D3 Achse vorher		0	0	0	0	0		
X Achse unten D3 Achse nachher		0	0	0	0	0		
<b>Differenz unten</b>		0	0	0	0		0	m / s2
X Achse oben D4 Achse vorher		10	11	11.5	16	48.5		
X Achse oben D4 Achse nachher		10.1	11	11.2	15	48.5		
<b>Differenz oben</b>		0.1	0	-0.3	-1		1.4	m / s2
X Achse unten D4 Achse vorher		0	0	0	0	0		
X Achse unten D4 Achse nachher		0	0	0	0	0		
<b>Differenz unten</b>		0	0	0	0		0	m / s2
X Achse oben D5 Achse vorher		6.8	4.3	3.5	4	18.6		
X Achse oben D5 Achse nachher		17.7	3.3	3.6	3.6	31		
<b>Differenz oben</b>		10.9	-1	0.1	-0.4		12.4	m / s2
X Achse unten D5 Achse vorher		0	0	0	0	0		
X Achse unten D5 Achse nachher		0	0	0	0	0		
<b>Differenz unten</b>		0	0	0	0		0	m / s2
<b>Y Achse</b>		<b>Y1</b>	<b>Y2</b>	<b>Y3</b>	<b>Y4</b>			
Y Achse links D1 Achse vorher		7.6	5.6	14.2	19.1	46.5		
Y Achse links D1 Achse nachher		20.7	5.5	15.2	19.9	61.5		
<b>Differenz oben</b>		13.1	-0.1	1	0.8		15	m / s2
Y Achse rechts D1 Achse vorher		0	0	0	0	0		
Y Achse rechts D1 Achse nachher		0	0	0	0	0		
<b>Differenz unten</b>		0	0	0	0		0	m / s2
Y Achse links D2 Achse vorher		31	18.4	7.5	12.6	69.5		
Y Achse links D2 Achse nachher		28	19.3	7.3	12.4	73.8		
<b>Differenz oben</b>		-3	0.9	-0.2	-0.2		4.3	m / s2
Y Achse rechts D2 Achse vorher		0	0	0	0	0		
Y Achse rechts D2 Achse nachher		0	0	0	0	0		
<b>Differenz unten</b>		0	0	0	0		0	m / s2
Y Achse links D3 Achse vorher		22	16.5	4.9	15.3	58.7		
Y Achse links D3 Achse nachher		25.1	16.4	5.1	15.2	62.2		
<b>Differenz oben</b>		3.1	-0.1	0.2	-0.1		3.5	m / s2
Y Achse rechts D3 Achse vorher		0	0	0	0	0		
Y Achse rechts D3 Achse nachher		0	0	0	0	0		
<b>Differenz unten</b>		0	0	0	0		0	m / s2
Y Achse links D4 Achse vorher		23	17.7	9.8	26	76.5		
Y Achse links D4 Achse nachher		25.5	18	9.6	25.9	79.6		
<b>Differenz oben</b>		2.5	0.3	-0.2	-0.1		3.1	m / s2
Y Achse rechts D4 Achse vorher		0	0	0	0	0		
Y Achse rechts D4 Achse nachher		0	0	0	0	0		
<b>Differenz unten</b>		0	0	0	0		0	m / s2
Y Achse links D5 Achse vorher		14.1	10.5	2.5	12.6	39.7		
Y Achse links D5 Achse nachher		14.5	10.5	2.5	12.4	40.3		
<b>Differenz oben</b>		0.4	0	0	-0.2		0.6	m / s2
Y Achse rechts D5 Achse vorher		0	0	0	0	0		
Y Achse rechts D5 Achse nachher		0	0	0	0	0		
<b>Differenz unten</b>		0	0	0	0		0	m / s2

# WIAP MEMV® Diagramm D1 bis D5

<b>Z Achse Stirnseite</b>		<b>Z1</b>	<b>Z2</b>	<b>Z3</b>	<b>Z4</b>		
Z Achse oben links	D1 Achse vorher	7.2	0	7.1	0	14.3	
Z Achse oben links	D1 Achse nachher	9.8	0	8.4	0	18.2	
<b>Differenz oben</b>		2.6	0	1.3	0		3.9 m / s2
Z Achse oben links	D2 Achse	4.7	0	3.6	0	8.3	
Z Achse oben links	D2 Achse	3.9	0	3.1	0	9.6	
<b>Differenz unten</b>		-0.8	0	-0.5	0		1.3 m / s2
Z Achse oben links	D3 Achse	4.3	0	4	0	8.3	
Z Achse oben links	D3 Achse	5	0	4.3	0	9.3	
<b>Differenz unten</b>		0.7	0	0.3	0		1 m / s2
Z Achse oben links	D4 Achse	9.8	0	11	0	20.8	
Z Achse oben links	D4 Achse	9.2	0	10.7	0	21.7	
<b>Differenz unten</b>		-0.6	0	-0.3	0		0.9 m / s2
Z Achse oben links	D5 Achse	3.4	0	6.3	0	9.7	
Z Achse oben links	D5 Achse	4.1	0	6.6	0	10.7	
<b>Differenz unten</b>		0.7	0	0.3	0		1 m / s2

<b>Z Achse Heckseite</b>		<b>Z5</b>	<b>Z6</b>	<b>Z7</b>	<b>Z8</b>		
Z Achse oben links	D1 Achse vorher	8	0	8.3	0	16.3	
Z Achse oben links	D1 Achse nachher	9.5	0	9	0	18.5	
<b>Differenz oben</b>		1.5	0	0.7	0		2.2 m / s2
Z Achse oben links	D2 Achse	5.4	0	7.7	0	13.1	
Z Achse oben links	D2 Achse	4.6	0	7.9	0	14.1	
<b>Differenz unten</b>		-0.8	0	0.2	0		1 m / s2
Z Achse oben links	D3 Achse	5.5	0	5.1	0	10.6	
Z Achse oben links	D3 Achse	6	0	6.3	0	12.3	
<b>Differenz unten</b>		0.5	0	1.2	0		1.7 m / s2
Z Achse oben links	D4 Achse	11	0	11	0	22	
Z Achse oben links	D4 Achse	11	0	12	0	23	
<b>Differenz unten</b>		0	0	1	0		1 m / s2
Z Achse oben links	D5 Achse	4.1	0	6.5	0	10.6	
Z Achse oben links	D5 Achse	4.6	0	6.2	0	11.4	
<b>Differenz unten</b>		0.5	0	-0.3	0		0.8 m / s2


Veränderung Total	D1 Achse	25.3	m / s2
Veränderung Total	D2 Achse	10.7	m / s2
Veränderung Total	D 3 Achse	9.5	m / s2
Veränderung Total	D 4 Achse	6.4	m / s2
Veränderung Total	D 5 Achse	14.8	m / s2
<b>Total D1 D2 D3 D4 D5</b>		66.7	m / s2
Total X Achs G Verschiebung (1 G=9.81 m/s2)		25.4	m / s2
Total Y Achse G Verschiebung (1 G=9.81 m/s2)		26.5	m / s2
Total Z Achse G Verschiebung (1 G=9.81 m/s2)		14.8	m / s2
<b>Total Veränderung X/Y/Z</b>		66.7	m / s2

Ort: Dulliken

Datum 15.08.2019

Unterschrift

Iris Widmer



Stempel:

